

III-38 直接セン断時における砂の動き

東洋大学工学部 正員 赤木俊光

1. はじめに

直接セン断試験は古くより広く用いられ、その利点・欠点についてもよく知られている。¹⁾しかししながら、すべての問題点が解明されているわけではなく、日本で独自に行われた一齊試験の結果にも報告されており^{2), 3)}、直接セン断試験より得られる値が非常に大きなバラツキを示す理由も、必ずしも明瞭ではない。直接セン断時ににおける破壊の構造についてもまだ不明な点があり、試料内部で実際にどのような破壊が起るのかを観察した例は極めて少く、英國において⁴⁾人工的に調製した数種のカオリン粘土の試料について一面セン断試験を行い、各段階で試料を取り出してセン断面の発生状況を調べた例が見られる程度である。直接セン断を受ける砂の動きを知るためにには、しかし、どのような手法は適用できないため、セン断中の砂の動きが連続的に観察できる両側面がガラスの大型一面セン断試験機を試作した。装置と方法は今後改良を重ねつつあり、今までの結果はまだ満足すべきものではないが、一連の予備実験を終えたので、実験結果とその解析について二つにその一端を報告する。

2. 試験装置と方法

試験装置の全景は写真-1に示す通りで、強化ガラスの両側面をもつ土槽(内法: 長さ73cm, 深さ50cm, 中15cm)の内部にピッタリ入る鋼製の上箱・下箱から成り、二の中に入砂の試料で任意の密度に詰めることができ。試料の上に直接置く上蓋を通じて任意の垂直荷重を加えることができる。写真の左手に見える巻取装置により、上下箱の境界面レベルで、上箱までは下箱をピアノ線で水平に引張ることができる。ピアノ線の張力はたとえ前方に見えるヒズミ計により測定することができる。下箱はローラーの上に乗せてあって、試験時は上部固定でも下部固定でも行えるようになっている。

砂の試料はガラス面に見え部分が長さ30cm, 宽さ20cm であって、中はガラス槽と同じく15cmである。砂粒子の動きを写真撮影により明確に捕えるため、試料を詰める際プラスチックのマーカーをガラス面に密着させて各戸位に埋めこむ方法をとっている。上箱・下箱・上下の蓋の内側にフェルト布がはさめるよう装備してあって、セン断中に砂がガラス面との間に漏れることははない。

今回用いた砂は比較的粒度のよい乾燥砂($D_{10}=0.17\text{mm}$, $D_{60}=0.7\text{mm}$)で、特製のホップバーから砂の雨を降らせるように第一箱に詰めるよう努力した。砂の密度、垂直荷重、上部固定・下部固定など条件を変えて数種の予備実験を行ったが、セン断強度を求めるニ

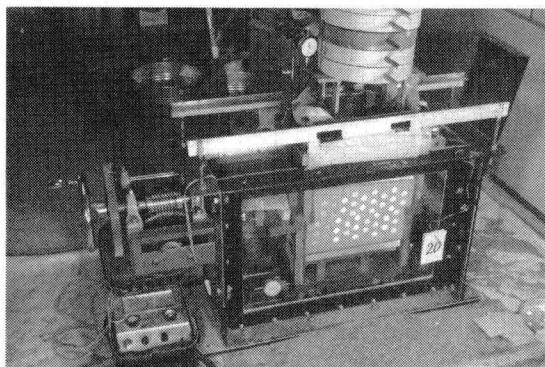


写真-1 試作した直接セン断試験機

とは現時までは問題にしていないので、種々のマサツに関してはいっさい考慮していない。ピアノ線を巻きとることにより水平変位を与えながら、 1mm ごとに写真をとり、これをスライドにして拡大し、各マーカーの動きを調べた。以下に一つの具体例とくと、間ゲキ比0.65(相対密度約60%)のゆるい砂試料に比較的小さな垂直荷重 0.10kg/cm^2 を与えた場合の、下部固定一面せん断試験結果について報告する。

3. 試験結果の検討

多くの場合図-1(b)に示すように $5\sim7\text{mm}$ の水平変位に対して張力一変位曲線は割合顯著なピークを示している。図-1(a)は最大張力に対応する水平変位 5mm のときと、与えた最大水平変位 20mm のときとにおける砂の動きをそれぞれ実線および点線で示したものである。これはマーカーの動きを連ねたものであって、その位置は黒点によって示されている。この図に見られるように、~~そして~~下部固定の場合には左へ上部を移動させると、上箱内に左上方に向う動きが起る。しかし、これは箱の水平運動量を差引いて上箱を基準に考えると、実際は右上方に向う砂粒子の動きであることがわかる。事実、上蓋は右側が特に下られ、運動方向に対して前傾する結果になっている。この例ではせん断ゾーンはかなり複雑で広範囲にわたっているが、砂の密度が上るとゾーンの規模は限定されにくくなるのである。まだ結論を下すわけではないが、下箱内では小規模な砂粒子の回転運動が起るよう認められる。上部固定で下箱を左へ引張った場合についても、上箱内で左上に向うやなり大きな砂の動きが起り、左側で上蓋が持ち上げられる傾向が顯著に見られる。すなわち相対的には下部固定の場合と全く同じ現象であるが、下箱の水平運動にともない、上箱内一部に砂粒子の回転運動が発生するようと思われる。上部・下部いずれを固定しても、砂粒子の動きは拘束の小さい上箱内においてより活潑である。

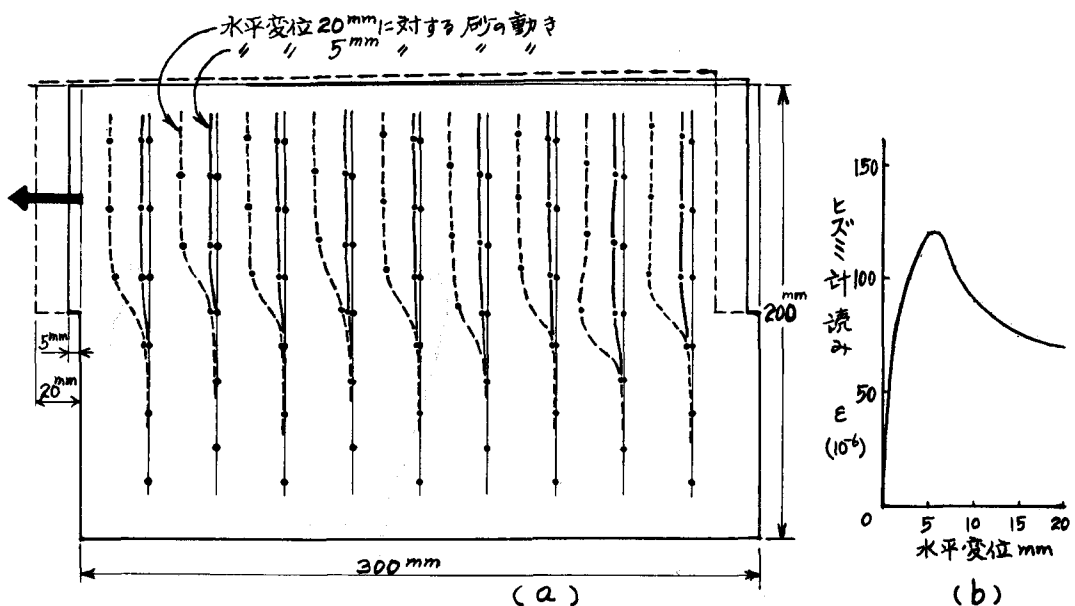


図-1 ゆるい砂の一面向せん断試験結果

プラスチックのマーカーは、直径16mmの円板の裏側に直径3mm、長さ8mmの突起が付いたゴルフ用のグリーン・マーカーをそのまま使用し、円板面をガラス面に密着させ砂中に設置した。実験中の観察と結果の検討によれば、マーカーの動きが砂粒子の動きに比べ若干遅れて形跡があるが、その差は僅かなものと考えられる。図-1に示した例では、午後に水平変位5mm, 20mmに対するマーカーの最大水平変位量としては、それそれ4.83mm, 19.67mmが測定されている。現在この円板部分を小さく表面より滑らかにする試みを行っているが、このような改良を行えばかなり精度の高い測定ができるものと考えている。毎年ホロスコープ⁵⁾の開催して砂中埋め二人で金剛石をX線で透視・追跡するといった方法に比べれば、極めて原始的なものではあるが、工記の方法でも精度の高い測定が可能であると期待している。逆着のデオテフニーフ⁶⁾もX線を用いて砂の変形破壊に至るセン断ヒズミの分布⁶⁾を求めた例が発表されているが、本報文では今迄に論じられていない間ゲキ比の変化とその分布について考察することにする。

4. 間ゲキ比の変化

ガラス面と砂との間のマサツは精度を考慮するので、マーカーの動きが砂粒子の動きを示すものであるとすれば、マーカーの移動量から間ゲキ比の変化量を計算することができます。図-2において、点A, B, CがそれぞれA', B', C'に移動した場合、これらの点の原位置(x_i, y_i)および移動量(u_i, v_i)がわかることで、△ABC の面積Tおよび△A'B'C'は、変形した際に生ずる面積の変化分ΔTは、次のようにならわれる。

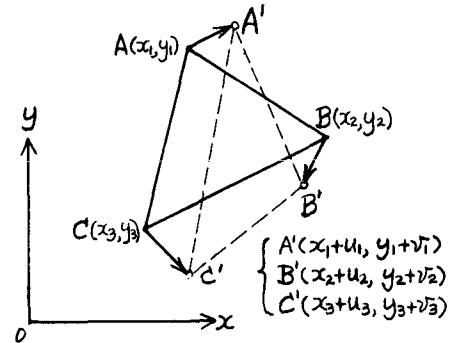


図-2 間ゲキ比の計算

$$T = \Delta ABC = \frac{1}{2} \left\{ (y_3 - y_2)x_1 + (y_1 - y_3)x_2 + (y_2 - y_1)x_3 \right\} \quad (1)$$

$$\Delta T = \Delta A'B'C' - \Delta ABC = \frac{1}{2} \left\{ (v_3 - v_2)x_1 + (v_1 - v_3)x_2 + (v_2 - v_1)x_3 + (y_3 - y_2)u_1 + (y_1 - y_3)u_2 + (y_2 - y_1)u_3 \right\} \quad (2)$$

三角形を充分小さくすれば△ABC や△A'B'C'へと変形する間に砂粒子の量の増減はないと考えよい。ガラス面に垂直な方向の試料の厚さをtとし、その方向では砂粒子は全く動きを示すものとすれば、三角形の変形前後の間ゲキ比e, e'はそれぞれ次のように表わされる。

$$e = \frac{V_r}{V_s} = \frac{\Delta ABC \cdot t - V_s}{V_s}, \quad e' = \frac{V_{r'}}{V_s} = \frac{\Delta A'B'C' \cdot t - V_s}{V_s}$$

ただし、V_sは三角形柱内砂粒子の体積、V_r, V_{r'}は変形前後の空ゲキの体積とする。従て間ゲキ比の変化量Δeは

$$\Delta e = e' - e = \frac{\Delta T}{V_s} \cdot t = \frac{\Delta T}{T} (1+e) \quad (3)$$

試験開始時のeは予め測定されているので、図-1(a)に示したようなデータを用いれば、(1)(2)式によりT, ΔTの計算ができ、任意の時刻における試料内各部の変化Δeが(3)式により求まる。

二のようにして図-19デ
ータにつき求めた例が、図-3
に示す三間ゲキ比の変化の分
布であるが、予備実験ではマ
ーカーの配置もましく、この
結果は満足すべきものではな
い。なお、図中の数字は各三
角形内の間ゲキ比の増減 Δe
ハッチは増加(+)、△部分を
示している。

5. おわりに

現在は予備実験を終えて
段階にすくすく本命點に用意
る結論を下すわけにはゆかないが、現時刻において以下の二点が述べられる。

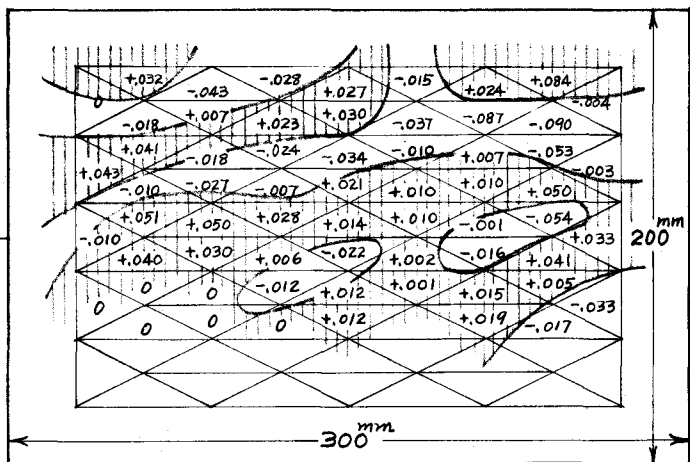


図-3 水平変位5mmに対する間ゲキ比の変化

a) 試作した両面ガラスの一面セニ断試験機により、直接セニ断を受ける砂試料の内部に起る変化が直接観察できる。砂中に埋め込んだプラスチックのマーカーは忠実に砂の動きを示すものと期待できる。

b) マーカーの改良と配置によっては、充分小さな三角形排列を設けることも可能であるから、人眼類である精度をもって試料内部の局部的な間ゲキ比の変化の分布をはじめ、セニ断ヒズミの分布なども、任意の時刻において、比較的容易に求めることができる。

c) 二二に述べた方法は、ガラス側面をもつ種々の平面ヒズミ向異性の定量的な観測実験および解析に適用可能である。

終わりに実験・計算について、本学助手加藤宗彦君、全大院学生白鳥仁志君はじめ数人の学生諸君の盡力を得た。二二に附記して感謝の意を表す。

6. 参考文献

- 1) 例えば土工学会編(1969)「土工試験法」pp. 361-388
- 2) 土工学会(1968)「土のセニ断試験法に関する基礎的研究」
- 3) Lee, K.L. & Singh, A. (1968) 'Report of the Direct Shear, Comparative Study' L.A.Sec., ASCE
- 4) Morgenstern, N.R. & Tchalenko, J.S. (1967) 'Microscopic Structures in Kaolin Subjected to Direct Shear' Geotechnique 17-4
- 5) Roscoe, K.H., Arthur, J.F.R. & James, R.G. (1963) 'Determination of Strains in Soils by an X-ray method' Civ. Engng Publ. Wks Rev. 58
- 6) James, R.G. & Bransby, P.L. 'Experimental & Theoretical Investigations of a Passive Earth Pressure Problem' (1970) Geotechnique 20-1

(1970年7月30日)